

$^{150}\text{Nd}(^{30}\text{Si},4n\gamma)$  1996Cr02

Type	Author	History Citation	Literature Cutoff Date
Full Evaluation	M. S. Basunia	NDS 107, 791 (2006)	15-Sep-2005

Other: 1994Cr03.

Target: Pure  $^{150}\text{Nd}$ . Projectile:  $^{30}\text{Si}$  pulsed beam of <1 ns duration, separated by 82 ns, E=133 MeV. Detector: Argonne-NotreDame BGO gamma ray facility, consists of 12 Compton-suppressed Ge detector and an inner array of 50 BGO elements. Measured:  $E\gamma$ ,  $I\gamma$ , DCO ratio (not presented),  $T_{1/2}$ . $^{176}\text{W}$  Levels

E(level) <sup>†</sup>	$J\pi^{\ddagger}$
0.0 <sup>a</sup>	0 <sup>+</sup>
107.80 <sup>a</sup> 19	2 <sup>+</sup>
347.5 <sup>a</sup> 3	4 <sup>+</sup>
698.3 <sup>a</sup> 3	6 <sup>+</sup>
1138.7 <sup>a</sup> 3	8 <sup>+</sup>
1301.1 <sup>d</sup> 3	4 <sup>(-)</sup>
1394.6 <sup>@</sup> 3	6 <sup>+</sup>
1399.6 <sup>c</sup> 3	5 <sup>(-)</sup>
1575.0 <sup>d</sup> 3	6 <sup>(-)</sup>
1647.1 <sup>a</sup> 4	10 <sup>+</sup>
1656.0 <sup>h</sup> 4	6 <sup>(+)</sup>
1671.8 <sup>c</sup> 3	7 <sup>(-)</sup>
1757.5 <sup>@</sup> 4	8 <sup>+</sup>
1856.7 <sup>f</sup> 5	7
1923.9 <sup>d</sup> 3	8 <sup>(-)</sup>
1924.1 <sup>h</sup> 4	8 <sup>(+)</sup>
1939.0 <sup>g</sup> 6	(7)
1971.9 <sup>e</sup> 6	8 <sup>(-)</sup>
1994.7 <sup>g</sup> 6	
2006.4 <sup>c</sup> 3	9 <sup>(-)</sup>
2148.7 <sup>f</sup> 5	9
2159.3 <sup>?</sup> 6	
2188.2 <sup>@</sup> 4	10 <sup>+</sup>
2204.9 <sup>a</sup> 4	12 <sup>+</sup>
2263.9 <sup>h</sup> 5	10 <sup>(+)</sup>
2263.9+x	
2306.8 <sup>d</sup> 4	10 <sup>(-)</sup>
2344.4 <sup>g</sup> 8	(9)
2408.0 <sup>c</sup> 4	11 <sup>(-)</sup>
2412.9 <sup>e</sup> 5	10 <sup>(-)</sup>
2465.8+x <sup>i</sup>	(13)
2523.3 <sup>f</sup> 6	11
2623.0 <sup>&amp;</sup> 4	12 <sup>+</sup>
2652.1+x <sup>i</sup>	(14)
2707.6 <sup>h</sup> 6	12 <sup>(+)</sup>
2752.3 <sup>d</sup> 4	12 <sup>(-)</sup>
2776.0 <sup>g</sup> 10	(11)
2800.8 <sup>a</sup> 4	14 <sup>+</sup>
2829.2 <sup>@</sup> 5	12 <sup>+</sup>

Continued on next page (footnotes at end of table)

$^{150}\text{Nd}(^{30}\text{Si},4n\gamma)$  **1996Cr02** (continued) $^{176}\text{W}$  Levels (continued)

E(level) <sup>†</sup>	J $\pi$ <sup>‡</sup>	T <sub>1/2</sub>	Comments
2861.2?	5		
2870.5+x <sup>i</sup>	(15)		
2880.1 <sup>c</sup>	4		
2886.0 <sup>e</sup>	7		
2970.0 <sup>f</sup>	6		
3031.5&	4		
3118.4+x <sup>i</sup>	(16)		
3227.2?	6		
3238.1 <sup>h</sup>	7		
3254.8	5		
3270.8 <sup>g</sup>	11		
3274.4 <sup>d</sup>	5		
3300.8?	4		
3393.1+x <sup>i</sup>	(17)		
3398.2 <sup>e</sup>	9		
3420.5 <sup>c</sup>	5		
3426.1 <sup>a</sup>	4		
3483.4 <sup>f</sup>	6		
3492.4&	4		
3694.4+x <sup>i</sup>	(18)		
3745.8 <sup>#</sup>	4	35 ns 10	T <sub>1/2</sub> : Measured with a recoil-shadow geometry from 716-, 491-, and 408-keV $\gamma(t)$ spectra, using $^{50}\text{Ti}(^{130}\text{Te},4n\gamma)$ reaction reported in <a href="#">1996Cr02</a> . $\approx 70$ ns in <a href="#">1994Cr03</a> .
3816.5 <sup>g</sup>	13		
3844.2 <sup>d</sup>	5		
3951.5 <sup>e</sup>	10		
3968.7 <sup>#</sup>	4		
4000.9&	5		
4020.4+x <sup>i</sup>	(19)		
4021.3 <sup>c</sup>	5		
4060.1 <sup>f</sup>	6		
4100.4	4		
4120.0 <sup>a</sup>	6		
4207.1 <sup>#</sup>	5		
4367.0	5		
4417.2 <sup>g</sup>	16		
4451.9 <sup>d</sup>	5		
4463.4 <sup>#</sup>	5		
4577.5	5		
4611.9&	5		
4669.3 <sup>c</sup>	6		
4694.0 <sup>f</sup>	7		
4739.5 <sup>#</sup>	5		
4838.3 <sup>a</sup>	9		
4893.3 <sup>b</sup>	6	$\approx 10$ ns	T <sub>1/2</sub> : From <a href="#">1996Cr02</a> .
5033.1 <sup>#</sup>	5		
5081.6 <sup>d</sup>	7		
5191.1 <sup>b</sup>	6		
5297.4&	6		

Continued on next page (footnotes at end of table)

$^{150}\text{Nd}(^{30}\text{Si},4n\gamma)$  **1996Cr02 (continued)**

$^{176}\text{W}$  Levels (continued)

E(level) <sup>†</sup>	J <sup>π</sup> <sup>‡</sup>	E(level) <sup>†</sup>	J <sup>π</sup> <sup>‡</sup>	E(level) <sup>†</sup>	J <sup>π</sup> <sup>‡</sup>	E(level) <sup>†</sup>	J <sup>π</sup> <sup>‡</sup>
5341.7 <sup>#</sup> 5	20 <sup>+</sup>	5605.6 <sup>a</sup> 11	22 <sup>+</sup>	5999.0 <sup>#</sup> 7	22 <sup>+</sup>	6546.2 <sup>b</sup> 8	
5355.0 <sup>c</sup> 8	21 <sup>(-)</sup>	5664.2 <sup>#</sup> 6	21 <sup>+</sup>	6049.5 <sup>&amp;</sup> 7	24 <sup>+</sup>	6707.6 <sup>#</sup> 10	24 <sup>+</sup>
5368.7 <sup>f</sup> 7	21	5731.6 <sup>d</sup> 7	22 <sup>(-)</sup>	6184.4 <sup>b</sup> 7		6857.5 <sup>&amp;</sup> 8	26 <sup>+</sup>
5504.8 <sup>b</sup> 6		5836.6 <sup>b</sup> 6		6347.0 <sup>#</sup> 7	23 <sup>+</sup>	6920.0 <sup>b</sup> 9	

<sup>†</sup> Deduced by evaluator from a least-squares fit to  $\gamma$ -ray energies.

<sup>‡</sup> J<sup>π</sup> assignments are based on directional correlation from oriented states (DCO) ratios and on rotational structure. Quadrupole transitions were found to have DCO ratios of about 0.95, and dipole transitions of about 0.45.

<sup>#</sup> K<sup>π</sup>=14<sup>+</sup> band, possible configuration  $\pi 7/2[404] \otimes \pi 9/2 [514] \otimes \nu 7/2[633] \otimes \nu 5/2[512]$ .

@ K<sup>π</sup>=(0<sub>2</sub><sup>+</sup>) band: first excited state band.

& K<sup>π</sup>=(0<sup>+</sup>) s band: two rotation-aligned neutrons band.

<sup>a</sup> K<sup>π</sup>=0<sup>+</sup> g.s. rotational band.

<sup>b</sup> Rotational band.

<sup>c</sup> K<sup>π</sup>=4<sup>-</sup> band: configuration  $\pi 1/2[541] \otimes \pi 7/2[404]$ .

<sup>d</sup> K<sup>π</sup>=4<sup>-</sup> band: configuration  $\pi 1/2[541] \otimes \pi 7/2[404]$ .

<sup>e</sup> K<sup>π</sup>=8<sup>-</sup> band: configuration  $\pi 9/2[514] \otimes \pi 7/2[404]$ .

<sup>f</sup> K=7 band: configuration  $\Pi 9/2[514] \otimes \Pi 5/2[402]$ .

<sup>g</sup> K=(7) band.

<sup>h</sup> K<sup>π</sup>=6<sup>+</sup> band: configuration  $\nu 5/2[512] \otimes \nu 7/2[514]$ .

<sup>i</sup> K=(13) band.

$\gamma(^{176}\text{W})$

E <sub>γ</sub>	I <sub>γ</sub> <sup>†</sup>	E <sub>i</sub> (level)	J <sub>i</sub> <sup>π</sup>	E <sub>f</sub>	J <sub>f</sub> <sup>π</sup>	α <sup>‡</sup>	I <sub>(γ+ce)</sub>
107.8 1		107.80	2 <sup>+</sup>	0.0	0 <sup>+</sup>	2.81	25
174.2 3	0.6 1	1575.0	6 <sup>(-)</sup>	1399.6	5 <sup>(-)</sup>		
186.3 2	0.7 2	2652.1+x	(14)	2465.8+x	(13)		
202.1 6	≈0.1	2465.8+x	(13)	2263.9+x			
210.5 1	0.07	4577.5		4367.0			
218.0 4	0.5 2	2870.5+x	(15)	2652.1+x	(14)		
<sup>x</sup> 219.0 4	0.6 2						
222.8 1	1.1 2	3968.7	15 <sup>+</sup>	3745.8	14 <sup>+</sup>		
230.7 1	1.0 2	3031.5	14 <sup>+</sup>	2800.8	14 <sup>+</sup>		
238.2 1	0.9 2	4207.1	16 <sup>+</sup>	3968.7	15 <sup>+</sup>		
239.7 1	82 6	347.5	4 <sup>+</sup>	107.80	2 <sup>+</sup>		
247.7 2	0.6 2	3118.4+x	(16)	2870.5+x	(15)		
251.9 3	0.5 1	1923.9	8 <sup>(-)</sup>	1671.8	7 <sup>(-)</sup>		
256.2 1	0.6 1	4463.4	17 <sup>+</sup>	4207.1	16 <sup>+</sup>		
266.6 1	0.44 8	4367.0		4100.4			
267.6 2	0.8 1	1924.1	8 <sup>(+)</sup>	1656.0	6 <sup>(+)</sup>		
272.3 1	0.6 1	1671.8	7 <sup>(-)</sup>	1399.6	5 <sup>(-)</sup>		
273.9 1	3.0 2	1575.0	6 <sup>(-)</sup>	1301.1	4 <sup>(-)</sup>		
275.0 2	0.6 2	3393.1+x	(17)	3118.4+x	(16)		
275.9 1	0.5 1	4739.5	18 <sup>+</sup>	4463.4	17 <sup>+</sup>		
292.0 1	1.3 1	2148.7	9	1856.7	7		
293.5 1	0.3 1	5033.1	19 <sup>+</sup>	4739.5	18 <sup>+</sup>		
297.8 1	0.20 4	5191.1		4893.3			
300.6 3	0.4 1	2306.8	10 <sup>(-)</sup>	2006.4	9 <sup>(-)</sup>		

Continued on next page (footnotes at end of table)

$^{150}\text{Nd}(^{30}\text{Si},4n\gamma)$  **1996Cr02** (continued) $\gamma(^{176}\text{W})$  (continued)

$E_\gamma$	$I_\gamma^\dagger$	$E_i(\text{level})$	$J_i^\pi$	$E_f$	$J_f^\pi$	$E_\gamma$	$I_\gamma^\dagger$	$E_i(\text{level})$	$J_i^\pi$	$E_f$	$J_f^\pi$
301.3 3	0.5 1	3694.4+x	(18)	3393.1+x	(17)	530.5 2	0.5 3	3238.1	14 <sup>(+)</sup>	2707.6	12 <sup>(+)</sup>
308.6 1	0.3 1	5341.7	20 <sup>+</sup>	5033.1	19 <sup>+</sup>	532.5 1	0.46 6	4739.5	18 <sup>+</sup>	4207.1	16 <sup>+</sup>
313.7 1	0.23 5	5504.8		5191.1		533.1 1	2.6 4	1671.8	7 <sup>(-)</sup>	1138.7	8 <sup>+</sup>
315.8 1	0.28 6	4893.3		4577.5		540.4 1	4.6 3	3420.5	15 <sup>(-)</sup>	2880.1	13 <sup>(-)</sup>
322.4 2		5664.2	21 <sup>+</sup>	5341.7	20 <sup>+</sup>	541.1 1	1.0 2	2188.2	10 <sup>+</sup>	1647.1	10 <sup>+</sup>
326.0 4	0.3 1	4020.4+x	(19)	3694.4+x	(18)	545.7 3	0.6 2	3816.5	(15)	3270.8	(13)
331.7 1	0.27 5	5836.6		5504.8		553.3 3	0.8 2	3951.5	16 <sup>(-)</sup>	3398.2	14 <sup>(-)</sup>
334.6 1	3.4 2	2006.4	9 <sup>(-)</sup>	1671.8	7 <sup>(-)</sup>	557.8 1	28 2	2204.9	12 <sup>+</sup>	1647.1	10 <sup>+</sup>
334.8 4	0.11 4	5999.0	22 <sup>+</sup>	5664.2	21 <sup>+</sup>	569.8 1	1.3 3	3844.2	16 <sup>(-)</sup>	3274.4	14 <sup>(-)</sup>
339.8 2	0.6 1	2263.9	10 <sup>(+)</sup>	1924.1	8 <sup>(+)</sup>	569.8 2	0.38 5	5033.1	19 <sup>+</sup>	4463.4	17 <sup>+</sup>
347.6 3		6184.4		5836.6		574.7 1	4.0 6	4000.9	18 <sup>+</sup>	3426.1	16 <sup>+</sup>
348.2 2		6347.0	23 <sup>+</sup>	5999.0	22 <sup>+</sup>	576.7 1	2.6 6	4060.1	17	3483.4	15
348.8 1	5.5 3	1923.9	8 <sup>(-)</sup>	1575.0	6 <sup>(-)</sup>	579.1 5	0.4 1	2886.0	12 <sup>(-)</sup>	2306.8	10 <sup>(-)</sup>
350		2344.4	(9)	1994.7		595.9 1	19 1	2800.8	14 <sup>+</sup>	2204.9	12 <sup>+</sup>
350.8 1	79 2	698.3	6 <sup>+</sup>	347.5	4 <sup>+</sup>	600.7 5	0.6 2	4417.2	(17)	3816.5	(15)
354.6 1	0.8 2	4100.4		3745.8	14 <sup>+</sup>	600.8 1	3.1 4	4021.3	17 <sup>(-)</sup>	3420.5	15 <sup>(-)</sup>
359.0 3	0.7 1	2006.4	9 <sup>(-)</sup>	1647.1	10 <sup>+</sup>	603.0 2	0.37 6	5341.7	20 <sup>+</sup>	4739.5	18 <sup>+</sup>
362.1 3		6546.2		6184.4		607.7 1	1.0 1	4451.9	18 <sup>(-)</sup>	3844.2	16 <sup>(-)</sup>
363.0 2	0.5 1	1757.5	8 <sup>+</sup>	1394.6	6 <sup>+</sup>	611.0 1	3.0 5	4611.9	20 <sup>+</sup>	4000.9	18 <sup>+</sup>
374.0 3		6920.0		6546.2		612.0 4	0.27 5	5504.8		4893.3	
374.6 1	2.9 2	2523.3	11	2148.7	9	618.8 2	1.4 4	1757.5	8 <sup>+</sup>	1138.7	8 <sup>+</sup>
382.8 1	4.1 3	2306.8	10 <sup>(-)</sup>	1923.9	8 <sup>(-)</sup>	624.0 4	1.0 4	2829.2	12 <sup>+</sup>	2204.9	12 <sup>+</sup>
397.0 3	0.7 2	1971.9	8 <sup>(-)</sup>	1575.0	6 <sup>(-)</sup>	625.3 1	8.8 6	3426.1	16 <sup>+</sup>	2800.8	14 <sup>+</sup>
401.6 1	5.5 3	2408.0	11 <sup>(-)</sup>	2006.4	9 <sup>(-)</sup>	628.0 5	1.6 3	4120.0	18 <sup>+</sup>	3492.4	16 <sup>+</sup>
405.0# 3	<0.1	2870.5+x	(15)	2465.8+x	(13)	629.7 2	0.7 1	5081.6	20 <sup>(-)</sup>	4451.9	18 <sup>(-)</sup>
405.4 3	0.7 2	2344.4	(9)	1939.0	(7)	631.1 2	0.29 6	5664.2	21 <sup>+</sup>	5033.1	19 <sup>+</sup>
408.4 1	2.8 2	3031.5	14 <sup>+</sup>	2623.0	12 <sup>+</sup>	632 1	0.07 4	3254.8		2623.0	12 <sup>+</sup>
418.0 1	2.0 6	2623.0	12 <sup>+</sup>	2204.9	12 <sup>+</sup>	633.9 1	1.2 2	4694.0	19	4060.1	17
430.8 2	0.9 2	2188.2	10 <sup>+</sup>	1757.5	8 <sup>+</sup>	641.2 2	0.5 2	2829.2	12 <sup>+</sup>	2188.2	10 <sup>+</sup>
431.6 3	1.3 2	2776.0	(11)	2344.4	(9)	647.9 4	0.18 4	5836.6		5191.1	
434.7 1	2.3 2	2623.0	12 <sup>+</sup>	2188.2	10 <sup>+</sup>	648.0 2	1.2 2	4669.3	19 <sup>(-)</sup>	4021.3	17 <sup>(-)</sup>
440.4 1	56 2	1138.7	8 <sup>+</sup>	698.3	6 <sup>+</sup>	650.0 1	0.1 1	5731.6	22 <sup>(-)</sup>	5081.6	20 <sup>(-)</sup>
441.0 3	1.8 4	2412.9	10 <sup>(-)</sup>	1971.9	8 <sup>(-)</sup>	656.3 2	0.25 6	2861.2?		2204.9	12 <sup>+</sup>
443.7 1	0.7 3	2707.6	12 <sup>(+)</sup>	2263.9	10 <sup>(+)</sup>	657.6 3	0.26 6	5999.0	22 <sup>+</sup>	5341.7	20 <sup>+</sup>
445.0 1	0.25 6	3745.8	14 <sup>+</sup>	3300.8?		674.7 1	0.7 1	5368.7	21	4694.0	19
445.5 1	4.4 2	2752.3	12 <sup>(-)</sup>	2306.8	10 <sup>(-)</sup>	680.2 4		6184.4		5504.8	
446.7 1	3.0 2	2970.0	13	2523.3	11	682.0 4		6347.0	23 <sup>+</sup>	5664.2	21 <sup>+</sup>
460.9 1	1.8 4	3492.4	16 <sup>+</sup>	3031.5	14 <sup>+</sup>	685.5 2	2.1 7	5297.4	22 <sup>+</sup>	4611.9	20 <sup>+</sup>
461.7 2	0.27 5	4207.1	16 <sup>+</sup>	3745.8	14 <sup>+</sup>	685.7 3	0.4 1	5355.0	21 <sup>(-)</sup>	4669.3	19 <sup>(-)</sup>
466.5 5	0.2 2	3118.4+x	(16)	2652.1+x	(14)	693.7 3	2.7 3	4120.0	18 <sup>+</sup>	3426.1	16 <sup>+</sup>
472.1 1	6.0 2	2880.1	13 <sup>(-)</sup>	2408.0	11 <sup>(-)</sup>	697.0 2	1.4 2	1394.6	6 <sup>+</sup>	698.3	6 <sup>+</sup>
473.1 3	1.6 3	2886.0	12 <sup>(-)</sup>	2412.9	10 <sup>(-)</sup>	701.4 1	2.2 6	1399.6	5 <sup>(-)</sup>	698.3	6 <sup>+</sup>
489.0 3	1.1 3	2412.9	10 <sup>(-)</sup>	1923.9	8 <sup>(-)</sup>	708.6 4	0.25 6	6707.6	24 <sup>+</sup>	5999.0	22 <sup>+</sup>
490.9 2	0.4 1	3745.8	14 <sup>+</sup>	3254.8		709.5 4	0.24 5	6546.2		5836.6	
494.8 3	1.0 2	3270.8	(13)	2776.0	(11)	714.1 1	0.8 1	3745.8	14 <sup>+</sup>	3031.5	14 <sup>+</sup>
494.9 1	0.39 5	4463.4	17 <sup>+</sup>	3968.7	15 <sup>+</sup>	717.4 4	0.5 1	1856.7	7	1138.7	8 <sup>+</sup>
508.4 1	46 2	1647.1	10 <sup>+</sup>	1138.7	8 <sup>+</sup>	718.3 3	1.5 4	4838.3	20 <sup>+</sup>	4120.0	18 <sup>+</sup>
508.8	1.8 5	4000.9	18 <sup>+</sup>	3492.4	16 <sup>+</sup>	735.0 5		6920.0		6184.4	
512.2 3	0.05 3	2159.3?		1647.1	10 <sup>+</sup>	752.1 2	0.4 1	6049.5	24 <sup>+</sup>	5297.4	22 <sup>+</sup>
512.2 3	2.0 4	3398.2	14 <sup>(-)</sup>	2886.0	12 <sup>(-)</sup>	760.9 1	1.6 3	2408.0	11 <sup>(-)</sup>	1647.1	10 <sup>+</sup>
513.4 1	2.8 5	3483.4	15	2970.0	13	767.3 4	0.5 2	5605.6	22 <sup>+</sup>	4838.3	20 <sup>+</sup>
518.6 3	0.29 6	3745.8	14 <sup>+</sup>	3227.2?		785.4 1	1.1 1	1923.9	8 <sup>(-)</sup>	1138.7	8 <sup>+</sup>
522.1 1	3.2 2	3274.4	14 <sup>(-)</sup>	2752.3	12 <sup>(-)</sup>	808.0 1	0.3 1	6857.5	26 <sup>+</sup>	6049.5	24 <sup>+</sup>
522.5 5	0.3 2	3393.1+x	(17)	2870.5+x	(15)	826.6 1	0.8 1	3031.5	14 <sup>+</sup>	2204.9	12 <sup>+</sup>

Continued on next page (footnotes at end of table)

$^{150}\text{Nd}(^{30}\text{Si},4n\gamma)$  **1996Cr02** (continued) $\gamma(^{176}\text{W})$  (continued)

$E_\gamma$	$I_\gamma^\dagger$	$E_i(\text{level})$	$J_i^\pi$	$E_f$	$J_f^\pi$	$E_\gamma$	$I_\gamma^\dagger$	$E_i(\text{level})$	$J_i^\pi$	$E_f$	$J_f^\pi$
<sup>x</sup> 866.0	<0.2					1047.0 <sup>#</sup> 1	0.6 3	1394.6	6 <sup>+</sup>	347.5	4 <sup>+</sup>
867.8 1	3.0 4	2006.4	9 <sup>(-)</sup>	1138.7	8 <sup>+</sup>	1049.8 3	0.21 6	3254.8		2204.9	12 <sup>+</sup>
876.4 1	5 2	1575.0	6 <sup>(-)</sup>	698.3	6 <sup>+</sup>	1067.9 3	0.16 6	3227.2?		2159.3?	
884.5 2	0.25 6	3745.8	14 <sup>+</sup>	2861.2?		1096.0 1	0.08 3	3300.8?		2204.9	12 <sup>+</sup>
916.8 3	0.31 4	3745.8	14 <sup>+</sup>	2829.2	12 <sup>+</sup>	<sup>x</sup> 1122.0	<0.1				
945.0 2	0.15 4	3745.8	14 <sup>+</sup>	2800.8	14 <sup>+</sup>	1159.5 4	0.3 1	1856.7	7	698.3	6 <sup>+</sup>
953.7 1	2.7 2	1301.1	4 <sup>(-)</sup>	347.5	4 <sup>+</sup>	1225.9 1	3.2 6	1924.1	8 <sup>(+)</sup>	698.3	6 <sup>+</sup>
957.6 1	1.2 1	1656.0	6 <sup>(+)</sup>	698.3	6 <sup>+</sup>	1240.6 3	0.7 2	1939.0	(7)	698.3	6 <sup>+</sup>
973.4 2	2.2 4	1671.8	7 <sup>(-)</sup>	698.3	6 <sup>+</sup>	1296.4 3	0.9 2	1994.7		698.3	6 <sup>+</sup>
1010.0 3	1.2 1	2148.7	9	1138.7	8 <sup>+</sup>	<sup>x</sup> 1541	<0.06				

<sup>†</sup> Intensities are relative to 100 for Ti(108 $\gamma$ ).

<sup>‡</sup> Total theoretical internal conversion coefficients, calculated using the BrIcc code (2008Ki07) with Frozen orbital approximation based on  $\gamma$ -ray energies, assigned multipolarities, and mixing ratios, unless otherwise specified.

<sup>#</sup> Placement of transition in the level scheme is uncertain.

<sup>x</sup>  $\gamma$  ray not placed in level scheme.

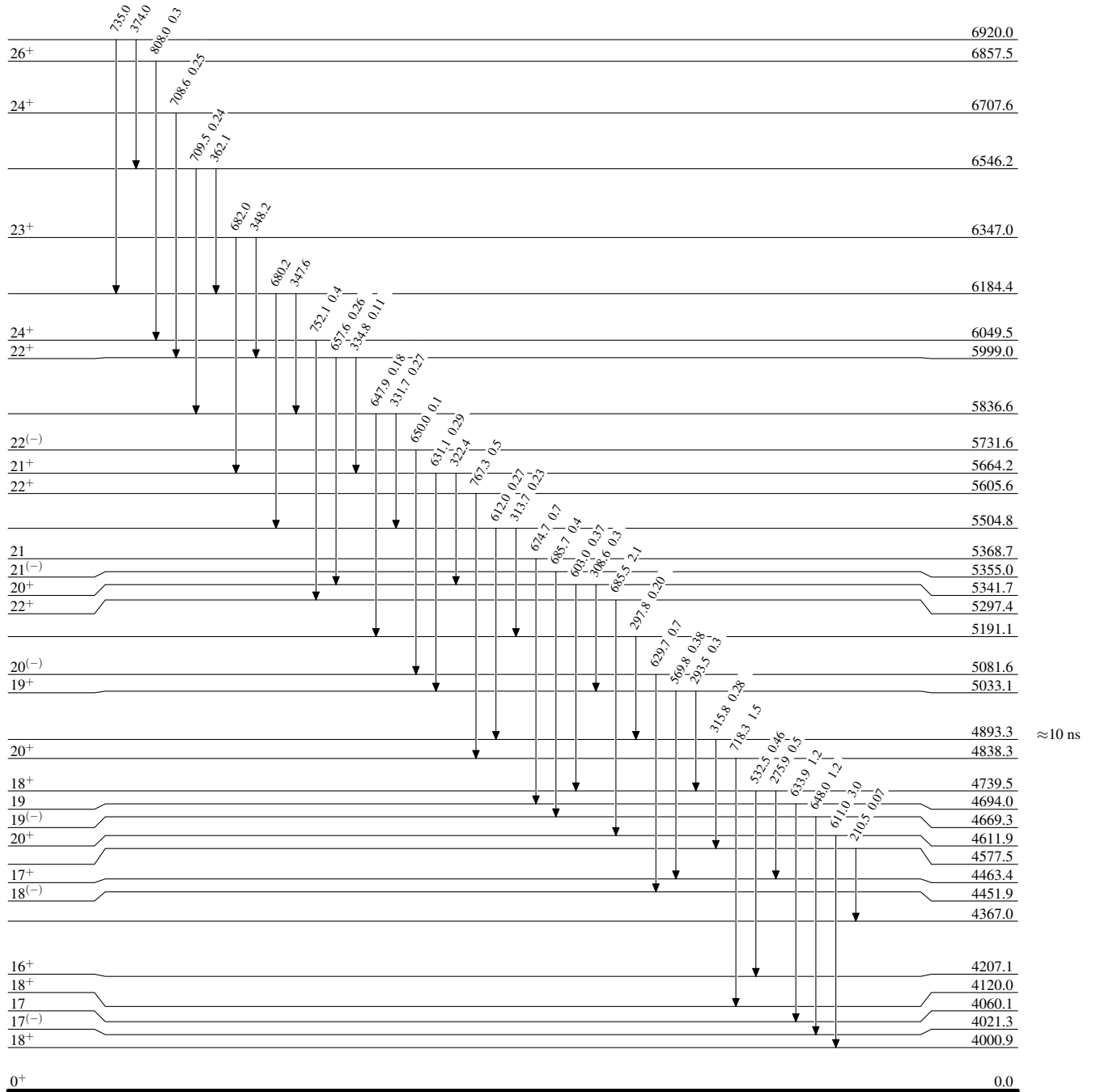
$^{150}\text{Nd}(^{30}\text{Si},4n\gamma)$  1996Cr02

Level Scheme

Intensities: Relative  $I_\gamma$

Legend

- $I_\gamma < 2\% \times I_\gamma^{\text{max}}$
- $I_\gamma < 10\% \times I_\gamma^{\text{max}}$
- $I_\gamma > 10\% \times I_\gamma^{\text{max}}$



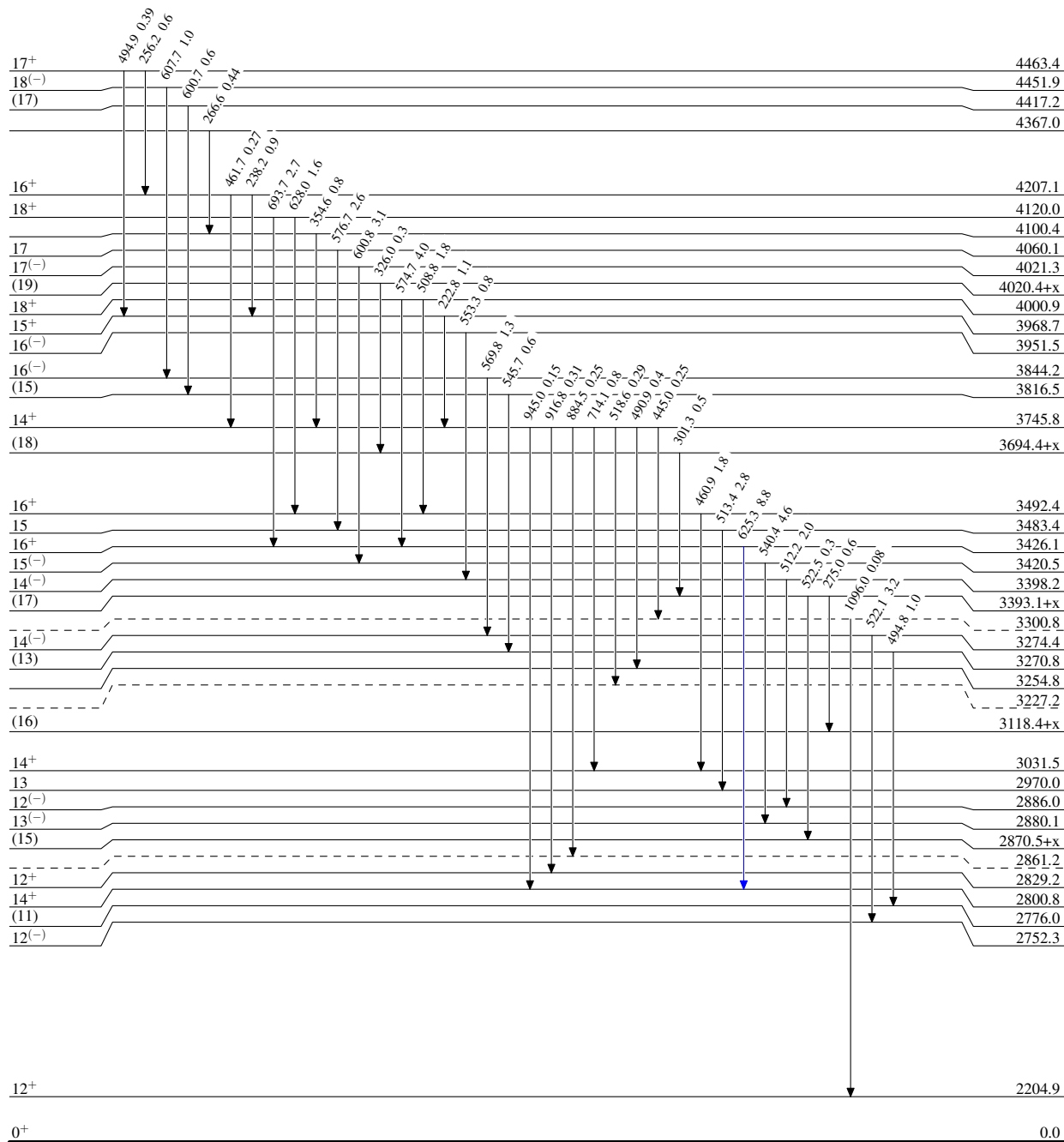
<sup>150</sup>Nd(<sup>30</sup>Si,4n $\gamma$ ) 1996Cr02

Level Scheme (continued)

Intensities: Relative I <sub>$\gamma$</sub>

Legend

- I <sub>$\gamma$</sub>  < 2% × I <sub>$\gamma$</sub> <sup>max</sup>
- I <sub>$\gamma$</sub>  < 10% × I <sub>$\gamma$</sub> <sup>max</sup>
- I <sub>$\gamma$</sub>  > 10% × I <sub>$\gamma$</sub> <sup>max</sup>










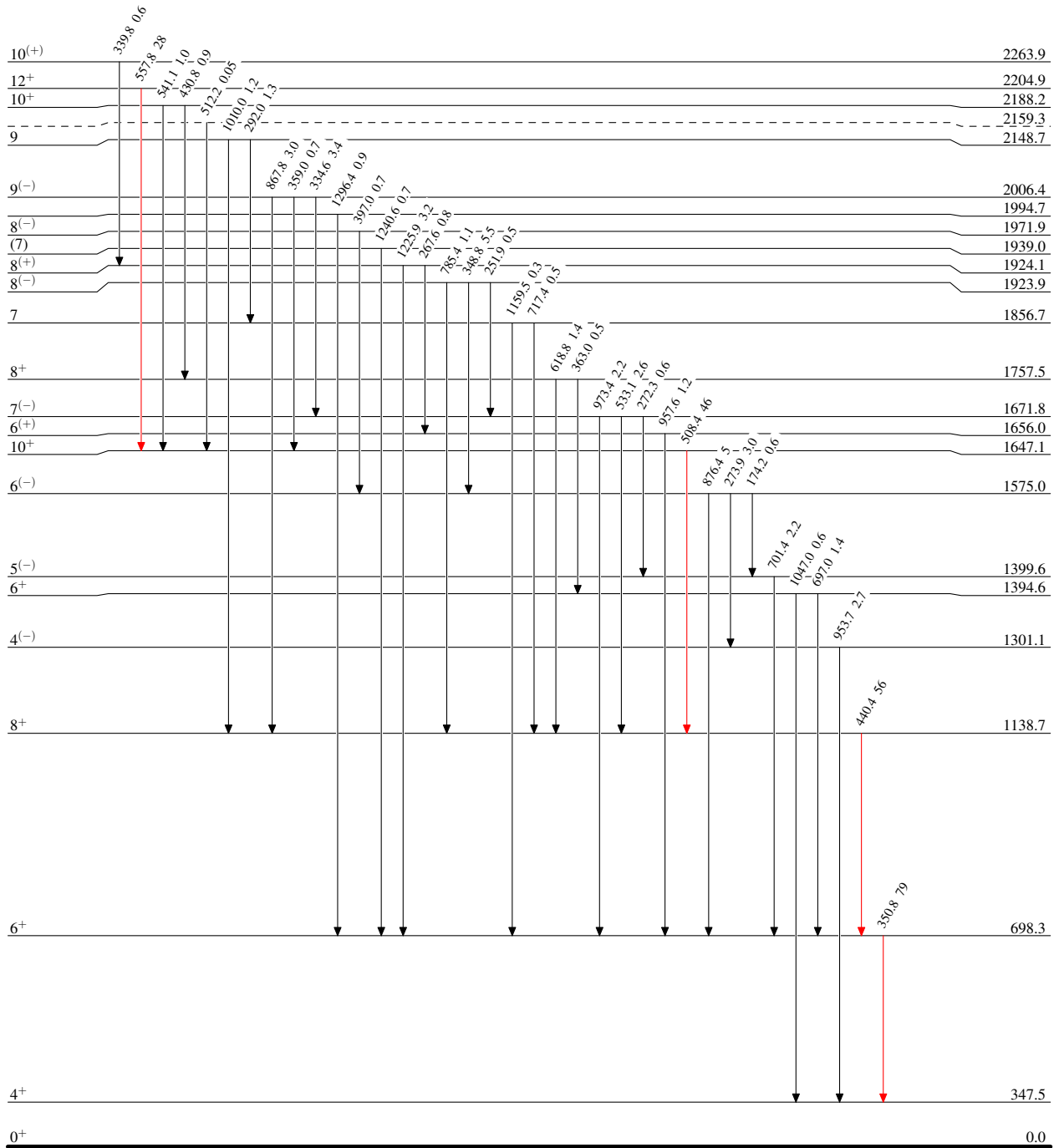
$^{150}\text{Nd}(^{30}\text{Si},4n\gamma)$  1996Cr02

Level Scheme (continued)

Intensities: Relative  $I_\gamma$

Legend

-   $I_\gamma < 2\% \times I_\gamma^{max}$
-   $I_\gamma < 10\% \times I_\gamma^{max}$
-   $I_\gamma > 10\% \times I_\gamma^{max}$



---

$^{150}\text{Nd}(^{30}\text{Si},4n\gamma)$  1996Cr02

Level Scheme (continued)

Intensities: Relative  $I_\gamma$

